



UNIVERSITÀ
DI PISA

University of Pisa

Department of Information Engineering

Hardware and Embedded Security

Nicolò Mariano Fragale
March 2025

Contents

1	Saponara	3
2	Nannipieri	4
3	Rossi	5
3.1	MOSFET	5
3.2	Propagation delay	6
3.3	Power consumption	6
3.4	Componenti riciclati e Invecchiamento	8
3.5	Process Variation	9
3.6	Testing	9
3.7	Hardware Metering	10
3.8	Path Delay Analysis	10
3.9	Clock Sweeping	12
3.10	Ring Oscillator	12
3.11	RO as Sensor	13
3.12	Hardware Trojans	14
3.13	Implementation	14
3.14	HT Taxonomy:	15

Information

These notes are intended for educational purposes only and cover essential concepts in the field of data systems and security. The aim is to provide a comprehensive understanding of topics such as system vulnerabilities, protection techniques, and defense strategies in cybersecurity.

This document includes topics related to access control, authentication mechanisms, database security, cryptographic methods, and advanced persistent threats, with a particular focus on practical applications in real-world scenarios.

1 Saponara

2 Nannipieri

3 Rossi

Esistono 3 tipi di Silicio:

1. Silicio puro;
2. Silicio di tipo Positivo (p-type) (eccesso di cariche positive);
3. Silicio di tipo Negativo (n-type) (eccesso di cariche negative).

Il silicio puro è poco conduttivo, quindi viene drogato con impurità per renderlo più conduttivo ed essere usato per dispositivi elettronici.

Positivo e Negativo poi determinano il verso della corrente elettrica.

Il silicio drogato viene utilizzato per realizzare i MOSFET (Metal Oxide Semiconductor Field Effect Transistor) che sono i componenti base dei circuiti integrati.

3.1 MOSFET Struttura di un MOSFET

1. **VDD**: Tensione di alimentazione, rappresenta in logica digitale il valore 1;
2. **VSS, Ground**: Tensione di massa, rappresenta in logica digitale il valore 0;

Il Mosfet si divide in Mosfet di arricchimento e Mosfet di depauperamento.

Consideriamo solo il primo che è formato da 4 regioni: Sorgente, Drenaggio, Gate e Bulk.

MOSFET-N (NMOS):

- Sorgente e Drenaggio sono di tipo N;
- Gate è isolato e riceve il segnale di controllo;
- Bulk è collegato al GND ed è di tipo P.

A bassa tensione il transistor è spento, a tensione alta il transistor è acceso, quindi la corrente passa da Drain a Source quando viene applicata una tensione positiva **VDD** e tensione negativa **VSS** è 0V. Ma soprattutto quando esiste differenza di potenziale tra Drain e Source.

MOSFET-P (PMOS):

- Sorgente e Drenaggio sono di tipo P;
- Gate è isolato e riceve il segnale di controllo;
- Bulk è collegato a VDD ed è di tipo N.

A bassa tensione il transistor è acceso (VSS), a tensione alta il transistor è spento (VDD), quindi la corrente passa da Source a Drain.

NMOS è preferito di gran lunga al PMOS, visto che è più veloce, resistenza minore e consuma meno energia.

Un circuito **CMOS** è formato da una coppia di MOSFET:

- Un MOSFET di tipo P (PMOS) con la sorgente collegata al VDD;
- Un MOSFET di tipo N (NMOS) con la sorgente collegata al GND (VSS).

I due transistor sono complementari, ovvero quando uno è acceso, l'altro è spento.

Assorbe corrente solo quando cambia stato.

CMOS è usato per realizzare porte logiche (AND, OR, XOR, NAND, ecc.), microprocessori, memorie (SRAM, Flash) e sensori di immagine nelle fotocamere.

3.2 Propagation delay Il tempo di propagazione è il tempo necessario affinché l'uscita cambi stato dopo una variazione dell'ingresso.

Il ritardo di propagazione misura il tempo tra il cambiamento dell'ingresso e la risposta dell'uscita. Si definiscono due ritardi:

- t_{PLH} (Propagation Delay Low-to-High) → Tempo impiegato dall'uscita per passare da LOW (0V) a HIGH (V_{DD}).
- t_{PHL} (Propagation Delay High-to-Low) → Tempo impiegato dall'uscita per passare da HIGH (V_{DD}) a LOW (0V).

Il ritardo medio si calcola come:

$$t_p = \frac{t_{PLH} + t_{PHL}}{2}$$

Propagation delay

Il ritardo di propagazione è influenzato da 3 fattori:

- Resistenza equivalente dei MOSFET R_{eq} ;
- Capacità di carico C_L ;
- Corrente di commutazione I .

Il ritardo di propagazione è inversamente proporzionale alla corrente di commutazione e alla capacità di carico, e direttamente proporzionale alla resistenza equivalente dei MOSFET.

3.3 Power consumption

- Consumo Statico: corrente assorbita quando il circuito è in stato statico (non cambia stato);
- Consumo Dinamico: corrente assorbita quando il circuito cambia stato.
- Consumo da corto circuito: corrente assorbita quando i transistor sono in stato di corto circuito sempre durante il cambio di stato.

Consumo statico

Il consumo statico si riferisce alla corrente assorbita quando il circuito si trova in uno stato stabile, ovvero senza transizioni logiche. In teoria, i circuiti CMOS hanno un consumo statico molto basso, poiché idealmente un percorso diretto tra V_{DD} e GND non dovrebbe esistere quando il circuito è stabile.

Cause del consumo statico:

1. **Subthreshold Leakage Current:** è la corrente che scorre attraverso un MOSFET anche quando è spento e dipende dalla temperatura e dalle dimensioni dei transistor.

È più significativa nei NMOS, perché hanno una soglia di tensione inferiore rispetto ai PMOS.

2. **Reverse Bias Junction Leakage:** è la corrente che scorre attraverso la giunzione PN anche quando il transistor è spento ed è maggiore negli NMOS rispetto ai PMOS a causa della più alta mobilità degli elettroni.

Consumo dinamico

Il consumo dinamico è la potenza dissipata quando il circuito commuta tra stati logici, ovvero quando l'uscita cambia da 0 a 1 o viceversa.

$$P_{dynamic} = \alpha \cdot C_L \cdot V_{DD}^2 \cdot f$$

Dove:

- α è il fattore di attività, ovvero la probabilità che il circuito commuti stato;
- C_L è la capacità di carico;
- V_{DD} è la tensione di alimentazione;
- f è la frequenza di commutazione (frequenza del clock).

Durante la transizione LOW \rightarrow HIGH, il PMOS si accende e carica la capacità di carico C_L .

Durante la transizione HIGH \rightarrow LOW, l'NMOS si accende e scarica C_L verso GND.

Maggiore è la capacità di carico, maggiore è l'energia richiesta per la commutazione.

Quindi per ridurre il consumo dinamico si può ridurre la tensione di alimentazione V_{DD} , ridurre la capacità di carico C_L usando transistor più piccoli e ridurre l'attività di commutazione f .

Consumo da corto circuito

Il consumo da corto circuito avviene quando entrambi i transistor NMOS e PMOS sono temporaneamente accesi durante la transizione di stato, creando un percorso diretto tra V e GND.

$$P_{short-circuit} = I_{sc} \cdot V_{DD} \cdot t_{sc}$$

Dove:

- I_{sc} è la corrente di corto circuito;
- V_{DD} è la tensione di alimentazione;
- t_{sc} è il tempo durante il quale entrambi i transistor sono accesi;

3.4 Componenti riciclati e Invecchiamento Fenomeni dell'invecchiamento:

- Negative Bias Temperature Instability (NBTI);
- Positive Bias Temperature Instability (PBTI);
- Hot Carrier Injection (HCI);
- Time-Dependent Dielectric Breakdown (TDDB).

Negative Bias Temperature Instability (NBTI):

NBTI è un fenomeno che degrada le prestazioni dei transistor PMOS quando sono sottoposti a bias negativo prolungato ($V_{GS} \leq 0$, quindi gate negativo rispetto a source). Questo porta a un aumento della tensione di soglia (V_T), riducendo la corrente che il transistor può fornire e rallentando il circuito. In questo modo il transistor chiederà una tensione maggiore per accendersi, maggiore resistenza interna e velocità di commutazione ridotta, infine il circuito risulterà rallentato.

Positive Bias Temperature Instability (PBTI):

Simile a NBTI, ma colpisce i transistor NMOS sotto bias positivo ($V_{GS} \geq 0$) e le cariche tendono a rimanere intrappolate nei difetti dell'ossido di gate. A causa di ciò NMOS si accende più lentamente e gli elettroni si muovono più lentamente.

Hot Carrier Injection (HCI):

HCI è un effetto di degrado che si verifica quando gli elettroni o i fori acquisiscono energia sufficiente per superare la barriera dell'ossido di gate e rimanere intrappolati all'interno, modificando le caratteristiche del transistor. Questo problema è più critico negli NMOS rispetto ai PMOS, perché gli elettroni hanno una maggiore mobilità rispetto ai fori. In questo caso si riduce la corrente di drain e la velocità di commutazione, facendo sì che il transistor diventi meno efficiente.

Time-Dependent Dielectric Breakdown (TDDB):

TDDB è un meccanismo di guasto progressivo che porta alla rottura dell'ossido di gate nel tempo, a causa di uno stress elettrico prolungato. Una volta che il breakdown avviene, il transistor smette di funzionare correttamente. Quindi si perde la capacità isolante dell'ossido, aumentando la corrente di perdita e eventualmente il guasto irreversibile del dispositivo.

3.5 Process Variation Inter-Die Variations: due chip identici prodotti nello stesso o diversi wafer (disco di silicio) possono avere caratteristiche elettriche leggermente diverse.

Alcuni esempi di variazioni sono:

- Differenze nella tensione di soglia;
- Differenze nella corrente di perdita;
- Differenze nel tempo di propagazione.

Intra-Die Variations: variazioni intra-die sono differenze tra transistor all'interno dello stesso chip. Queste possono essere dovute a imperfezioni locali nel processo di fabbricazione.

Alcuni esempi di variazioni sono:

- Variazioni nelle frequenze di funzionamento tra diverse parti del chip.
- Variazioni nella tensione di soglia tra diversi transistor.
- Variazioni nella corrente di perdita tra diversi transistor.
- Degrado delle prestazioni nei percorsi critici.

A fine slide il professore consiglia dei video per approfondire il discorso.

3.6 Testing Viene effettuato per verificare le funzionalità dei circuiti integrati e per individuare eventuali difetti dopo che sono stati fabbricati.

Un chip senza difetti è un good chip, altrimenti un bad chip; vengono testati tutti i chip e non tutti sono facili da verificare.

Queste verifiche possono essere sfruttate anche per scovare i chip contraffatti, che di solito sono chip vecchi, infatti più dell'80% di chip contraffatti sono chip vecchi.

Si effettuano principalmente 2 test:

1. Electrical test: testa le proprietà elettriche del chip sia in caso di corrente continua (comportamento statico) (DC) che in corrente alternata (comportamento dinamico) (AC):
 - Tensione di soglia dei transistor (DC);
 - Corrente di perdita (DC);
 - Tensione e Corrente di Alimentazione, quindi se il dispositivo opera con la tensione e corrente prevista (DC).
 - Frequenza di taglio, ovvero la banda che passa nel dispositivo (AC);
 - Propagation delay (AC);
 - Tempo di salita e discesa del segnale (AC).
 - Il livello di disturbo che può interferire con il segnale (AC).

2. **Functional test:** testa le funzionalità del chip, quindi se svolge correttamente il suo lavoro.
 - Logica digitale: verifica se le porte logiche funzionano correttamente;
 - Memorie: verifica se le memorie funzionano correttamente;
 - Interfacce: verifica se le interfacce funzionano correttamente;
 - Il codice viene eseguito senza errori.
3. **Temperature test:** verifica se il chip funziona correttamente a diverse temperature.
 - Militare: -65°C a 175°C ; nel caso di chip militari con l'obiettivo di resistere a temperature estreme;
 - Industriale: -25°C a 85°C ; per chip che devono resistere a temperature elevate;
 - Commerciale: -10°C a 70°C .

Burn-In: testa il chip a temperature elevate per un lungo periodo di tempo per trovare infant mortality, ovvero i chip che si rompono subito dopo la fabbricazione.

Temperature Cycling: testa il chip a temperature alte e basse per verificare se il chip funziona correttamente a diverse temperature.

Per verificare i risultati questi vengono comparati con i risultati attesi, se sono uguali il chip è buono, altrimenti è difettoso.

3.7 Hardware Metering Hardware metering (introdotto nel 2005) è un insieme di protocolli che permettono all'autore del prodotto di deterne i diritti successivamente alla produzione e distribuzione.

Questa tecnica quindi vale come un **Fingerprinting univoco** per identificare il prodotto.

Alcuni esempi di autenticazione hardware sono:

1. **On-Chip Aging Sensor:** misura l'invecchiamento del chip e quindi la sua vita utile;
2. **Physically Unclonable Functions (PUFs):** sono funzioni che generano un fingerprint univoco per ogni chip, quindi non clonabile;

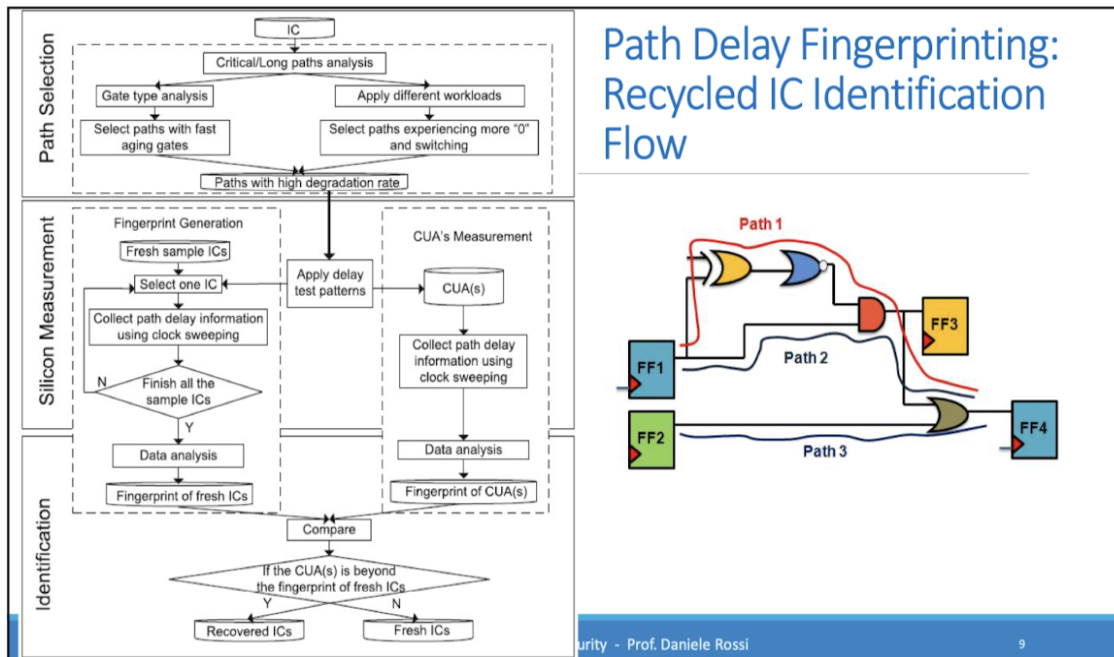
3.8 Path Delay Analysis Path Delay Fingerprinting è una tecnica che permette di identificare un chip tramite il degrado delle prestazioni senza usufruire di ulteriore hardware dedicato alla registrazione di aging.

Con degrado delle prestazioni ci si riferisce al tempo che i chip impiegano per eseguire operazioni funzionali \rightarrow Ritardi più grandi \leftrightarrow Uso prolungato.

(In generale) I test affermano che la più alta percentuale di degradazione si misura durante il primo anno (0%-10%), al termine del 4° anno si arriva circa al 17%.

Il grafico in slide mostra che le porte logiche XOR e NOR si degradano più velocemente delle porte NAND, e gli inverter di taglia più piccola si degradano più velocemente di quelli di taglia più grande.

L'immagine mostra il processo di identificazione dei circuiti integrati (IC) riciclati tramite Path Delay Fingerprinting.



Teniamo conto di 3 fattori principali:

1. Proprietà delle porte logiche

- Analisi delle porte logiche, XOR degradando più velocemente;
- Selezione dei percorsi che contengono maggior numero di pMOS (si degradano più velocemente degli nMOS);
- Selezione dei percorsi che contengono più switchings (cambi di stato).
- Selezione dei percorsi che contengono più inverter di taglia più piccola (si degradano più velocemente di quelli di taglia più grande).

2. Misurazione di silicio e Clock Sweeping

- Si usa il clock del circuito per testare i percorsi, in questo modo si possono analizzare chip già sul mercato senza che serva un design specifico.
- Vengono comparate le misurazioni svolte durante il testing primario con quelle attuali (\forall paths), le misurazioni devono essere effettuate con le stesse condizioni (i.e Temperatura).

- (c) Il clock viene fatto variare a diverse frequenze per determinare la frequenza limite alla quale il percorso smette di funzionare.

3. Identificazione del path

Una volta misurati tutti i path si capisce se il chip è nuovo o riciclato.

L'Analisi Statistica considera:

- (a) Simple Outlier Analysis (SOA): verifica se i ritardi misurati sono anomali rispetto al campione di riferimento (media di IC originali).
- (b) Principal Component Analysis (PCA): i dati raccolti vengono considerati come un set di variabili in uno spazio multidimensionale che generano dei componenti principali e cose varie, è complesso e articolato e il prof non l'ha spiegato.

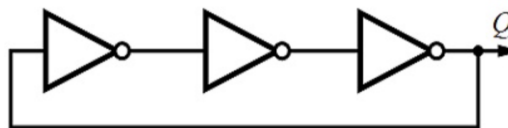
Se il ritardo del CUA è fuori dal range dei chip nuovi, è probabile che sia un IC riciclato.

3.9 Clock Sweeping Il clock sweeping è una tecnica che permette di identificare IC (circuiti integrati) riciclati basandosi sui risultati che forniscono quando vengono testati. Infatti gli IC devono rispondere in maniera specifica in base alla frequenza del clock e durante questo test gli IC vengono sottoposti a diverse frequenze di clock. Il punto è trovare la frequenza limite alla quale il percorso smette di funzionare, quindi non propaga alcun segnale. In questo modo possiamo misurare il **delay del path**.

I vari modi in cui possiamo performare questa tecnica dipende quindi dal controllo che abbiamo sul manovrare la frequenza di clock.

3.10 Ring Oscillator RO è una tecnica utilizzata per identificare IC contraffatti, in cosa consiste?

Un RO è un circuito costituito da un anello di porte logiche collegate in cascata (di numero dispari), il cui output è collegato all'input successivo.



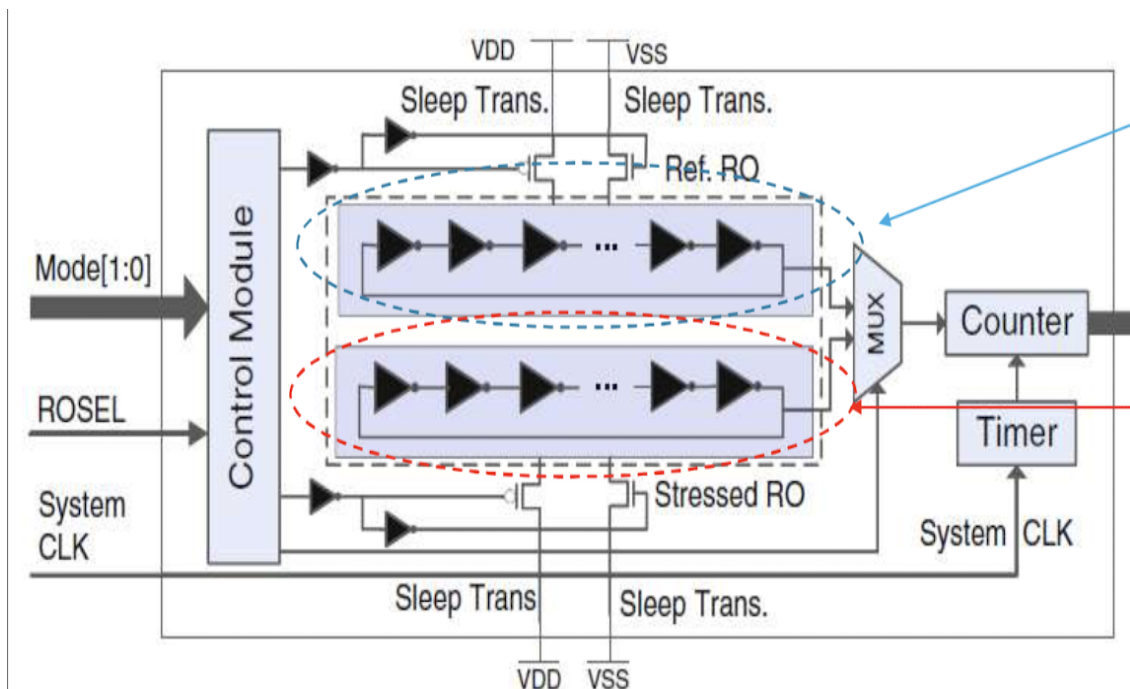
RO evaluate the intrinsic speed of a CMOS.

La frequenza del RO è inversamente proporzionale al numero di stage e alla velocità di commutazione delle porte logiche (propagation delay).

$$f_{osc} = \frac{1}{N(\tau_{LH} + \tau_{HL})} = \frac{1}{2N\tau_p}, \quad \tau_p = \frac{\tau_{LH} + \tau_{HL}}{2}$$

La frequenza in un RO riciclato è inferiore rispetto a quella di un IC nuovo. Temperatura e frequenza sono inversamente proporzionale, inoltre sostenere temperature elevate può causare un degrado delle prestazioni del chip. Il suo comportamento deve essere tale che invecchi a un ritmo simile a quello del circuito integrato (IC) che sta monitorando.

3.11 RO as Sensor



1. Il primo RO (quello sopra) è chiamato il *Reference RO*, è un RO programmato per invecchiare molto lentamente;
2. Il secondo RO (quello sotto) è chiamato il *Sensor RO*, è un RO programmato per invecchiare al ritmo del chip che si sta monitorando.
3. **N.B:** Da chiedere prima al prof: numero inverter correlati a frequenza
4. **Counter:** conta il numero di cicli del RO, quindi il numero di oscillazioni in

a given time.

5. **System clock:** serve a compensare gli effetti negativi del degrado del circuito, mantenendo la precisione temporale costante nel tempo.
6. **MUX:** seleziona il RO da monitorare, è controllato dal **ROSEL** signal.
7. I transistor (pmos e nmos) collegati ai RO servono per attivarli e disattivarli. (se pmos=1 allora RO attivo perche controlla VDD, nmos controlla VSS)

Three mode of operation control:

1. **Manufacturing test mode:** both RO are disconnected to experience no aging;
2. **Functional mode:** Ref RO is disconnected (age a bit bit) and Stressed RO is connected to experience aging; (riflette lo stato di invecchiamento del chip)
3. **Authentication mode:** both are connected to authenticate the chip.

These mode ensures:

1. The frequency between the two RO will be larger over time;
2. Is impossible to modify RO based sensor during the recycling process.

3.12 Hardware Trojans A malicious addition or modification to the circuit used the change its behavior, reduce the reliability, or leak sensitive information.

- **IP:** intellectual property, most little form of the three;
- **IC:** integrated circuit (i.e CPU);
- **SoC:** system on chip \rightarrow set(IC) \rightarrow CPU, GPU, RAM, ROM, etc.;

Hardware Trojans can be inserted in any of these three levels, but the most common is the IC level.

Detection of Hardware Trojans is difficult because they are often small and can be hidden in the design of the circuit and there is no known golden model to compare with. (Those who insert HT are the same who provide golden model (comparing both taint circuits)).

Detection is extremely difficult, both in hardware and software.

HT can be injected during each phase of the design process.

3.13 Implementation HT consists of:

1. Trojan Trigger: a condition that must be satisfied to activate the HT;
2. Trojan Payload: the action that the HT performs when activated;

Type of Trojan:

- **Functional Trojan:** takes as input nets of the main circuit and restitches (ricuce) with some other nets of the main circuit modifying its functionality;

- **Combinational Trojan:** trigger is activated when is performed (from the main circuit) a specific set of conditions (rare to append);
- **Sequential Trojan:** trigger is activated when a specific sequence of conditions/state is performed/transitions (more common);

3.14 HT Taxonomy:

- Physical characteristics:
 - Distribution:
 - Structure:
 - * Layout Change:
 - * Layout Same:
 - Size:
 - Type:
 - * Functional:
 - * Parametric:
- Activation characteristics:
 - Internally Trigger:
 - * Always on:
 - * Conditional:
 - Logic:
 - Sensor:
 - Externally Trigger:
 - * Antenna:
 - * Sensor:
- Action characteristics:
 - Transmit Information:
 - Modify Specification:
 - Modify Functionality:
 - * Change:
 - * Disable:
- Moles: